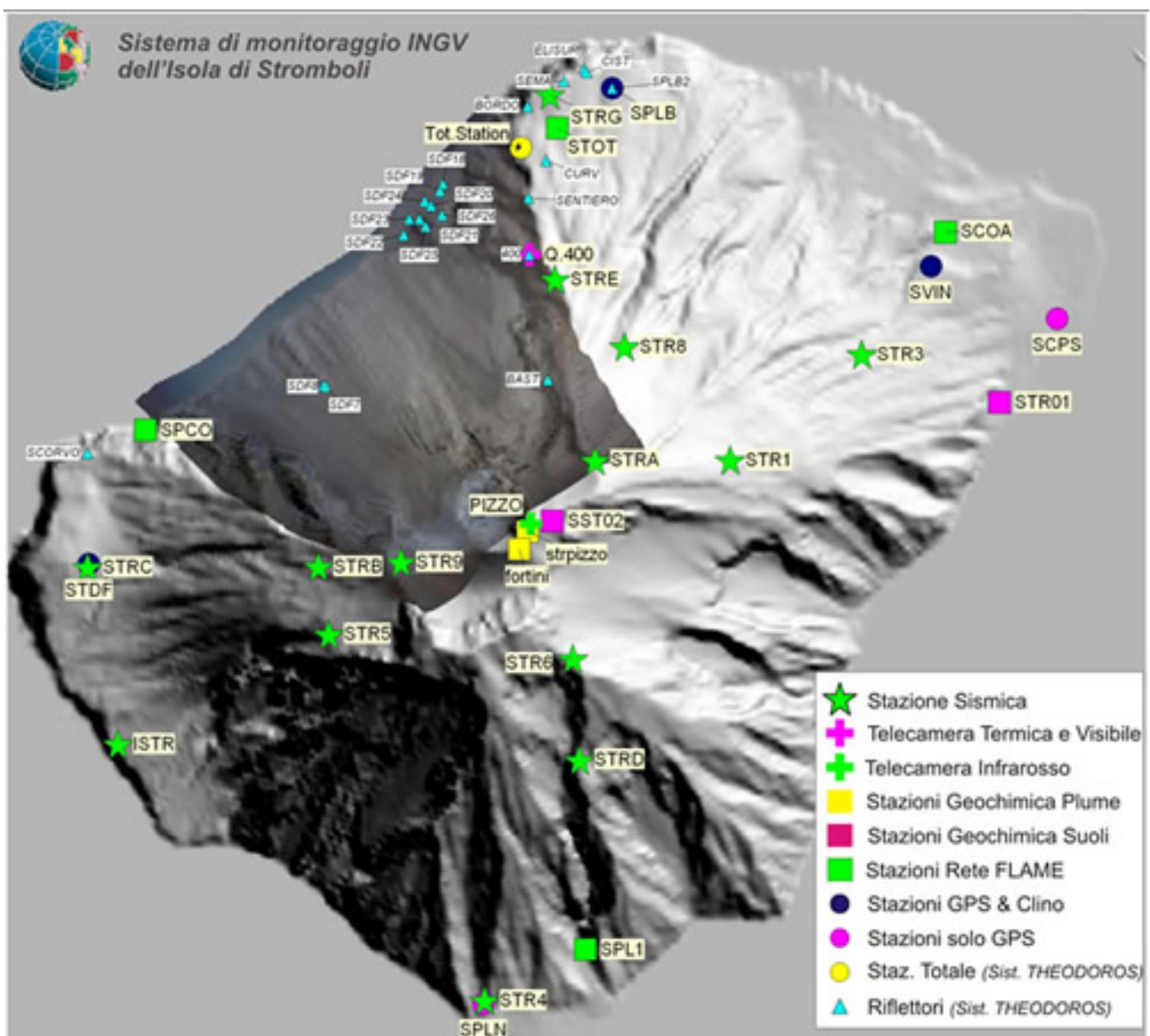




# Istituto Nazionale di Geofisica e Vulcanologia

Rep. N° 22/2014

## Bollettino settimanale sul monitoraggio vulcanico, geochimico, delle deformazioni del suolo e sismico del vulcano Stromboli del 27/05/2014



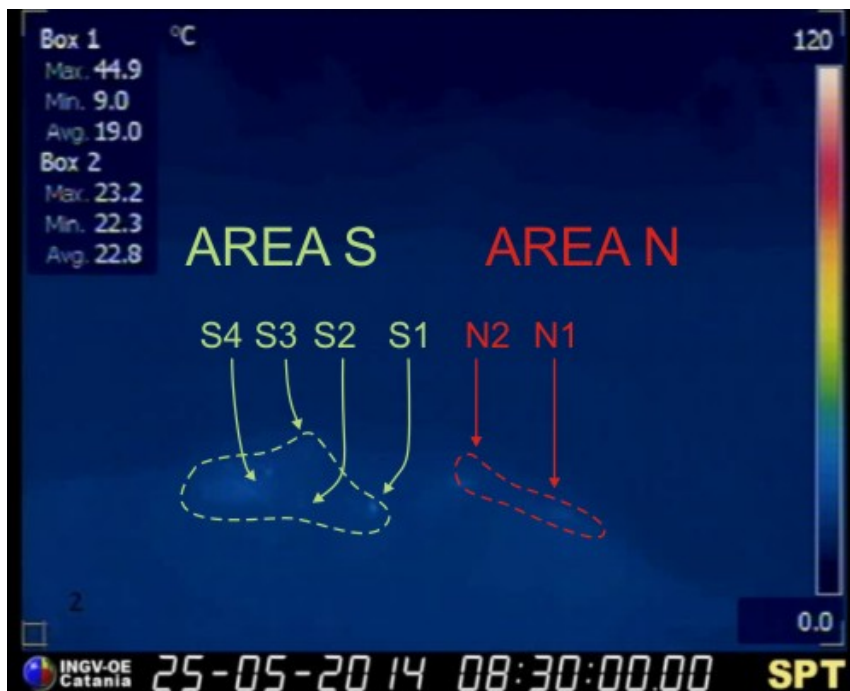
### Stato di funzionamento delle reti

Rete di monitoraggio	Numero di Stazioni	Numero di stazioni non funzionanti	Note
Deformazioni (clinometrica)	3	1	La stazione del COA è stata dismessa il 12/03/2013, perchè il foro si è dimostrato non idoneo per misure clinometriche di precisione.
Deformazioni (GPS)	5	1	La stazione SCPS non è funzionante. Per problemi ai sistemi informatici al COA, dal giugno 2013 non sono disponibili i dati.
Deformazioni (THEODOROS)	1 + 20 riflettori	6 riflettori	Il sistema non visualizza i dati dal 30 settembre. Da fine novembre 2012 il computer di controllo e gestione del sistema è guasto.
Sismologia	13	5	---
Rapporto CO2/SO2 nel plume	2	2	
Flussi SO2 Rete-FLAMES	4	-	
Flusso CO2 dal suolo	1	1	Problemi tecnici. Manutenzione prevista a breve.
Telecamera visibile	2		
Telecamera termica	3	1	Vancori non funzionante per problemi di trasmissione dati

### Sezione 1 - Vulcanologia

L'analisi delle immagini registrate dalle telecamere poste sul Pizzo sopra la Fossa e a quota 400 ha consentito di caratterizzare l'attività eruttiva dello Stromboli.

Nel periodo esaminato l'attività esplosiva è stata prodotta, in prevalenza, da 1 (una) bocca eruttiva localizzata nell'area craterica Nord e da 4 (quattro) bocche eruttive localizzate nell'area craterica Sud. Tutte le bocche sono poste all'interno della depressione che occupa la terrazza craterica (Fig. 1.1).

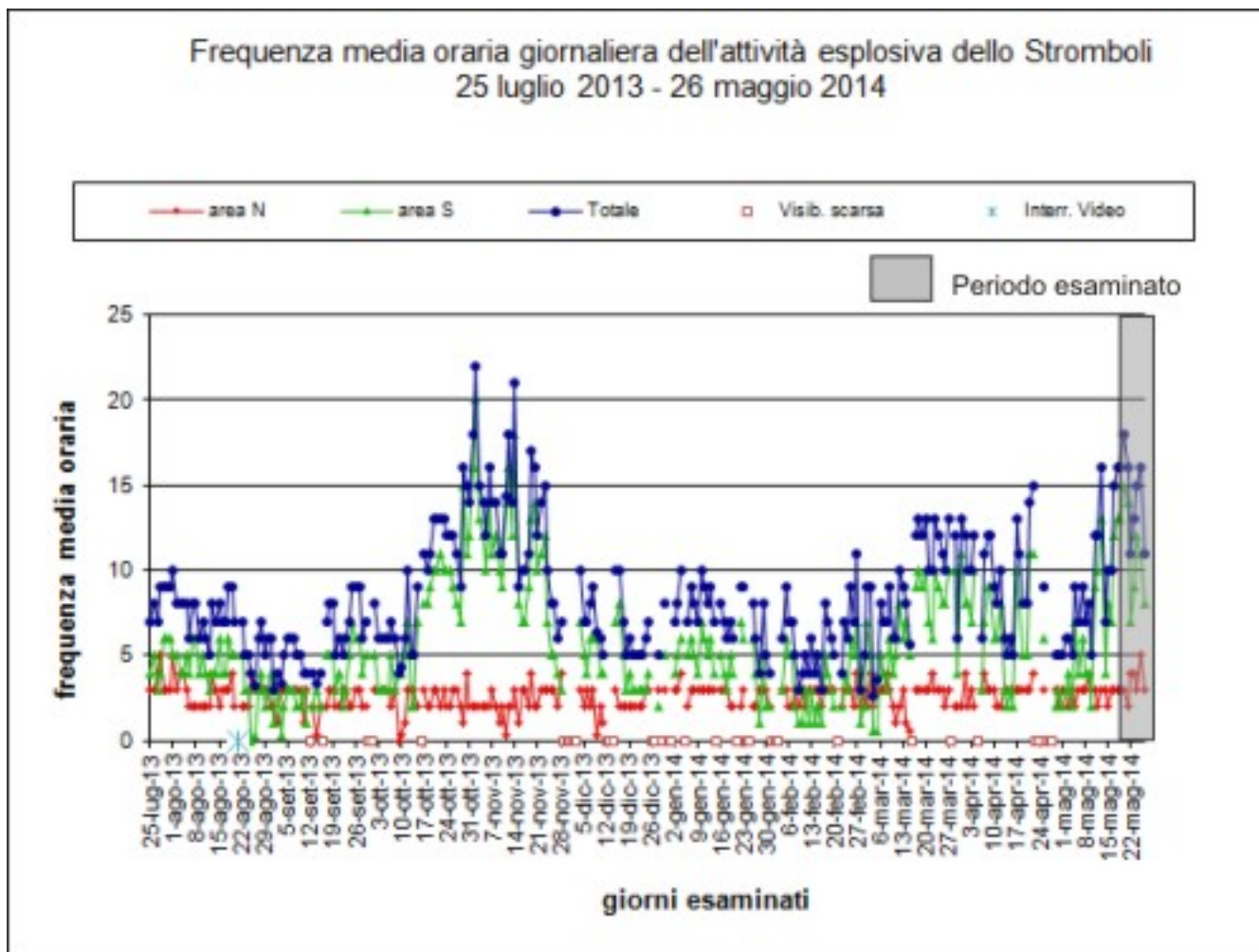


**Fig. 1.1** La terrazza craterica vista dalla telecamera termica posta sul Pizzo sopra la Fossa, con i settori in cui è divisa la terrazza craterica (AREA N, AREA S). Le sigle e le frecce indicano i nomi e le ubicazioni delle bocche attive.

La bocca N1, situata nell'area Nord, ha prodotto esplosioni d'intensità medio-bassa (minori di 120 m di altezza) con emissione di materiale grossolano (lapilli e bombe) talvolta frammisto a fine (cenere). La bocca N2 ha mostrato un'attività esplosiva di bassa intensità (minore di 80 m di altezza) di materiale grossolano talvolta frammisto a fine. La frequenza media delle esplosioni dell'area N è stata di 2 – 5 eventi/h.

Le bocche S1, situata nell'area Sud, ha mostrato una debole e continua attività di spattering da due punti di emissione, interrotta da qualche esplosione di bassa intensità con emissione di materiale grossolano. La bocca S2 ha prodotto una sporadica attività esplosiva di bassa intensità con emissione di materiale fine e un'intensa attività di spattering nelle ore centrali del 20 maggio e nelle ore serali del 26 maggio. La bocca S3, posta sul cono prospiciente la Sciara del Fuoco, ha prodotto un'attività esplosiva di bassa intensità con emissione di materiale grossolano. La bocca S4, presentava due o tre punti di emissione, talvolta contemporaneamente attivi, che hanno prodotto esplosioni d'intensità medio-bassa con emissione di materiale fine frammisto a grossolano. La frequenza delle esplosioni dall'area S è stata variabile tra 7 e 15 eventi/h.

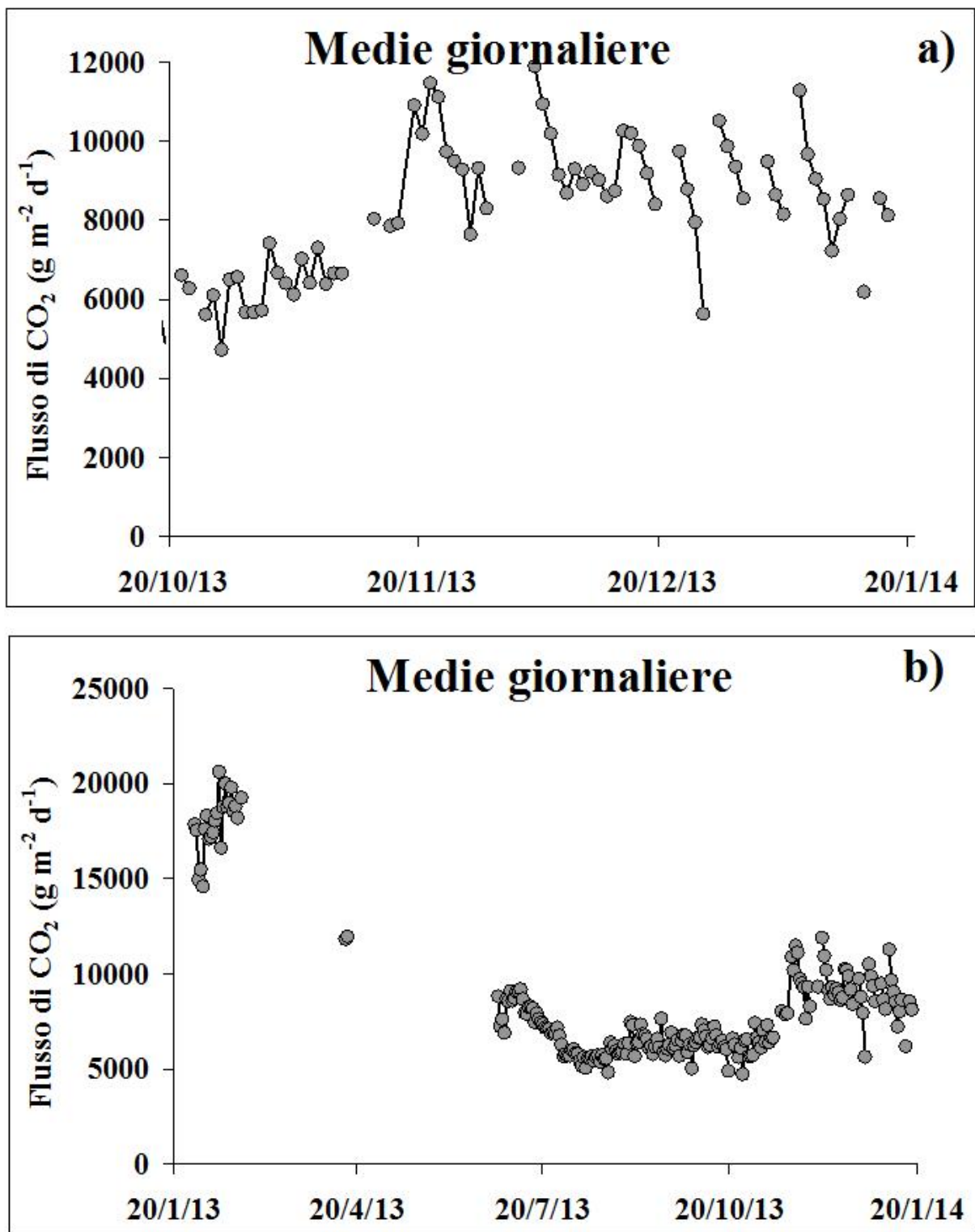
Nel grafico sottostante (Fig. 1.2) è visualizzata la frequenza oraria media giornaliera degli eventi esplosivi ripresi dalle telecamere di sorveglianza dal 25 luglio 2013 quando è stato ripristinato il funzionamento delle telecamere poste sul Pizzo sopra la Fossa. La depressione craterica è stata suddivisa in aree sede di bocche eruttive attive (vedi Fig. 1.1), pertanto le bocche poste nella porzione settentrionale costituiscono l'area N e le bocche poste nella porzione meridionale costituiscono l'area S. Il valore Totale è la somma della frequenza oraria media giornaliera di tutti gli eventi esplosivi prodotti dalle bocche attive.



**Fig. 1.2** Andamento della frequenza oraria media giornaliera degli eventi esplosivi dal 25 luglio 2013, in grigio il periodo esaminato.

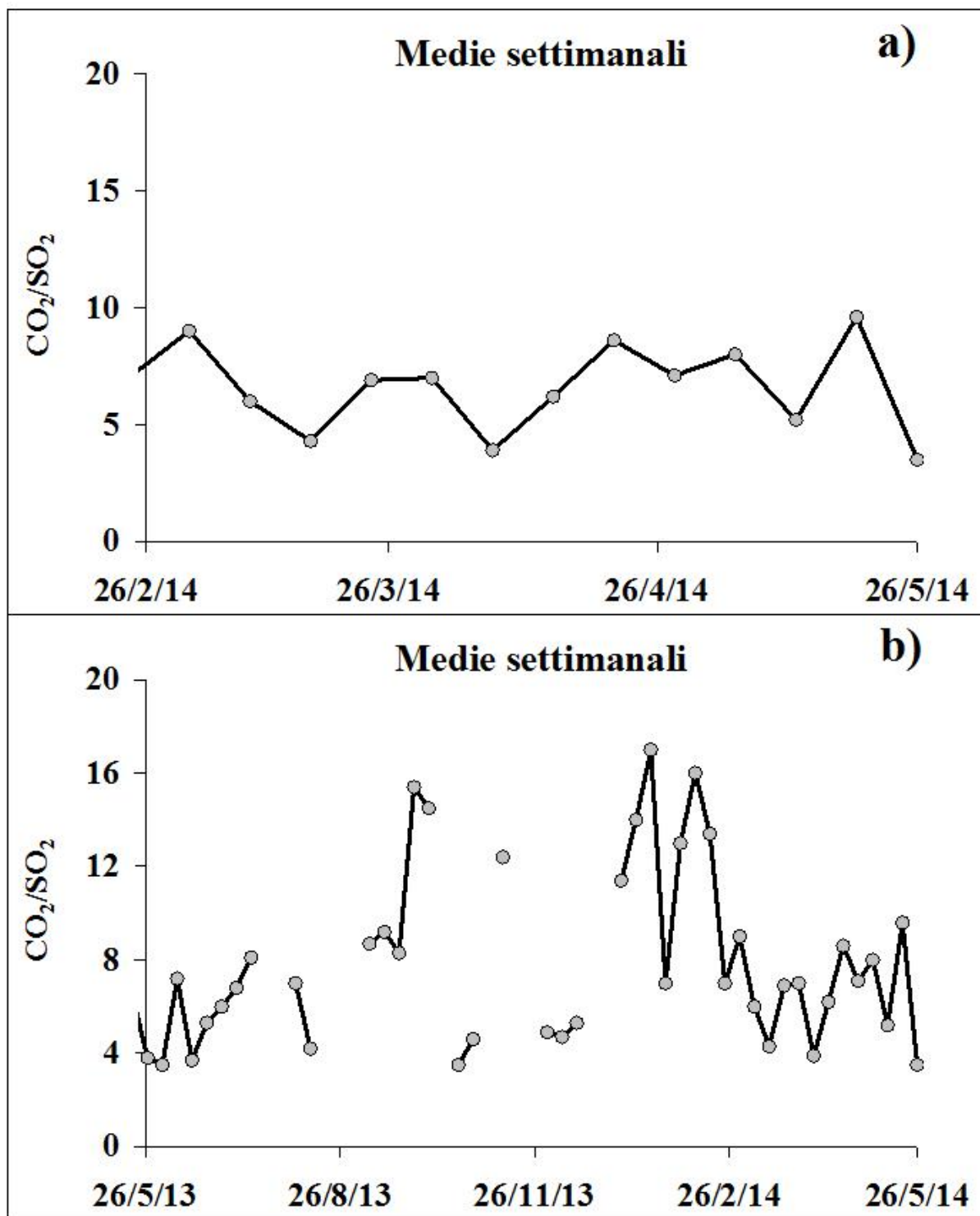
## Sezione 2 - Geochimica

Flusso di CO<sub>2</sub> dai suoli - A causa di un problema tecnico non ci sono dati aggiornati.



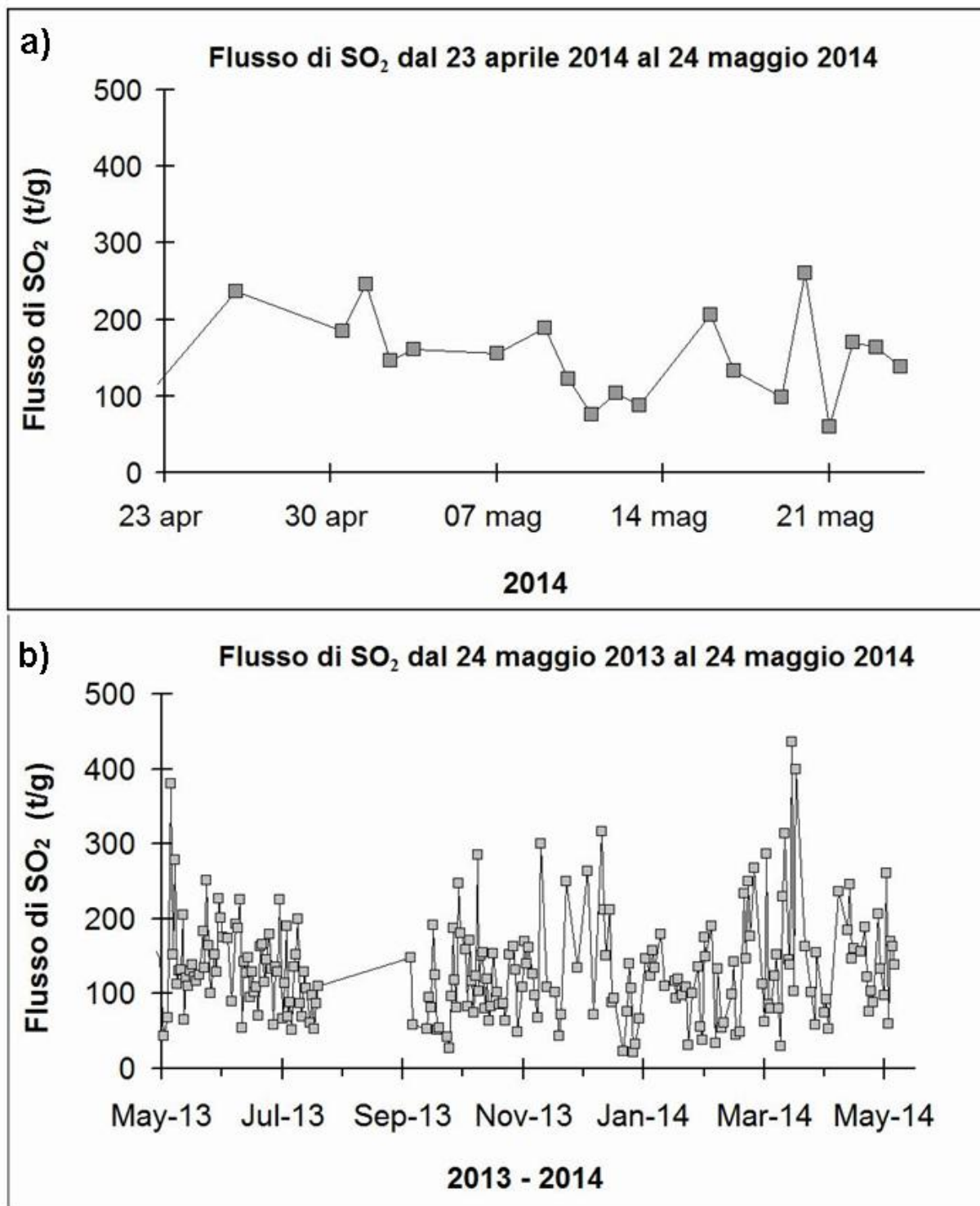
**Fig. 2.1** Andamento temporale del flusso di CO<sub>2</sub> dai suoli: a) ultimi tre mesi; b) ultimo anno

Chimica del plume - Il valore medio settimanale del rapporto CO<sub>2</sub>/SO<sub>2</sub> misurato dalla stazione di monitoraggio Fortini è pari a 3.5, in linea con i valori dell'ultimo periodo.



**Fig. 2.2** Andamento temporale del rapporto CO<sub>2</sub>/SO<sub>2</sub> nel plume: ultimi tre mesi (a), ultimo anno (b).

Flussi di SO<sub>2</sub> - Il valore medio settimanale del flusso di SO<sub>2</sub> emesso dal plume, misurato dalla rete FLAME, è di circa 160 t/g, in linea rispetto alle precedenti misure.



**Fig. 2.3** Andamento temporale del flusso di SO<sub>2</sub>: a) ultimo mese; b) ultimo anno

### Sezione 3 - Deformazioni del suolo

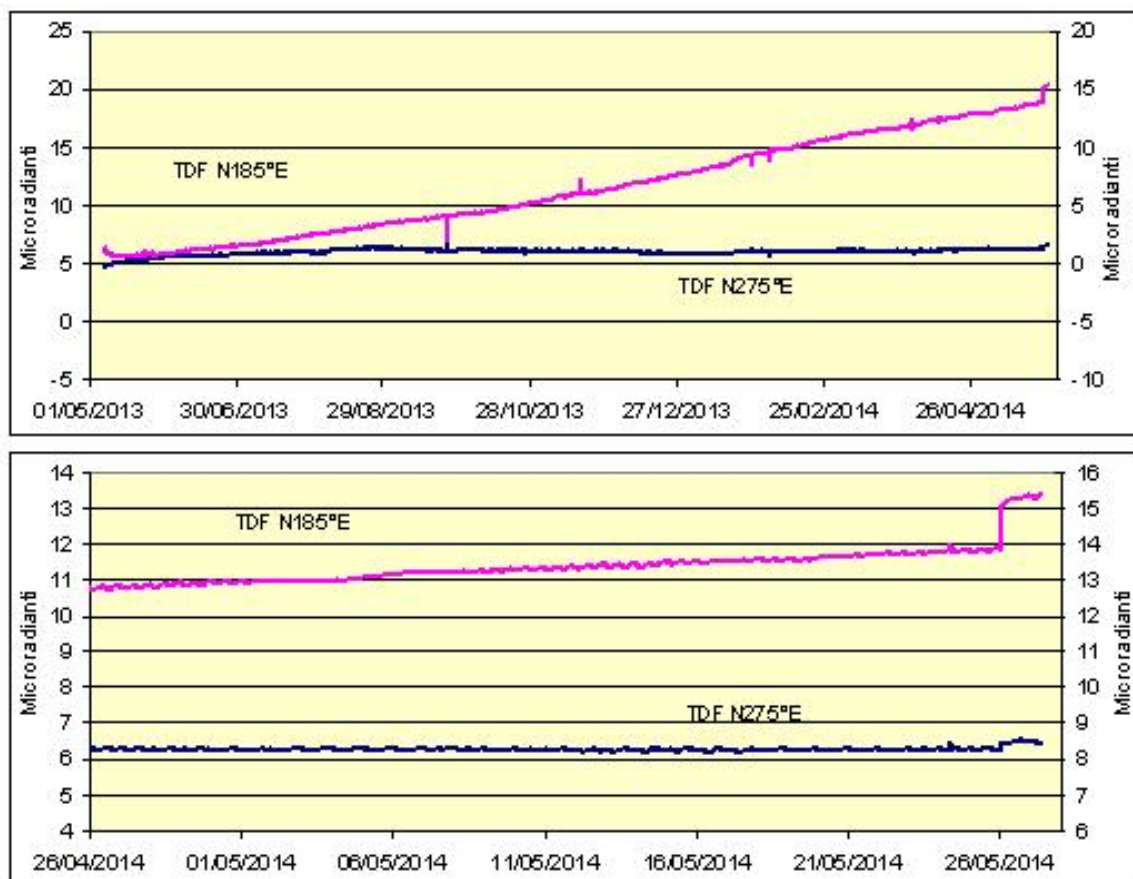
Rete clinometrica.

Le stazioni di Labronzo e Timpone del Fuoco acquisiscono con frequenza di un dato al minuto lungo due componenti tra loro ortogonali.

Per un guasto ai sistemi informatici di trasmissione, i dati di Punta Labronzo non sono disponibili alla data odierna.

L'analisi preliminare dei segnali dell'ultima settimana della stazione di Timpone del Fuoco ha mostrato una variazione impulsiva permanente registrata tra le ore 00:30 e 00:45 di giorno 26

maggio. Nello stesso lasso di tempo è stato registrato un evento sismico  $M=2.5$  (ore 00:41 GMT) localizzato 4.0 Km a NE di Ginostra. I dati disponibili non consentono una univoca interpretazione del fenomeno, per cui nei prossimi giorni si procederà ad una analisi di dettaglio della deformazione, congiuntamente ad altri dati geofisici.



**Fig. 3.1** Variazione dell'inclinazione del suolo alla stazione clinometrica di TDF. Sono riportate le componenti N185°E e N275°le di TDF nel lungo e nel breve periodo.

#### Misure GPS.

La rete GPS acquisisce dati a frequenza di 1 Hz su 4 delle 5 stazioni di misura.

L'analisi delle serie fornite dall'elaborazione giornaliera dei dati delle stazioni della Rete GPS permanente. A causa del guasto ai sistemi informatici al COA, i dati della rete GPS degli ultimi mesi non sono disponibili.

#### Sistema THEODOROS

Utilizzando tecniche di geodesia terrestre, il sistema determina la posizione nelle tre componenti (Nord, Est e Quota) di 8 capisaldi installati dentro la Sciara del Fuoco, sulla colata dell'eruzione 2007 (parte distale della colata e delta lavico ai piedi della Sciara).

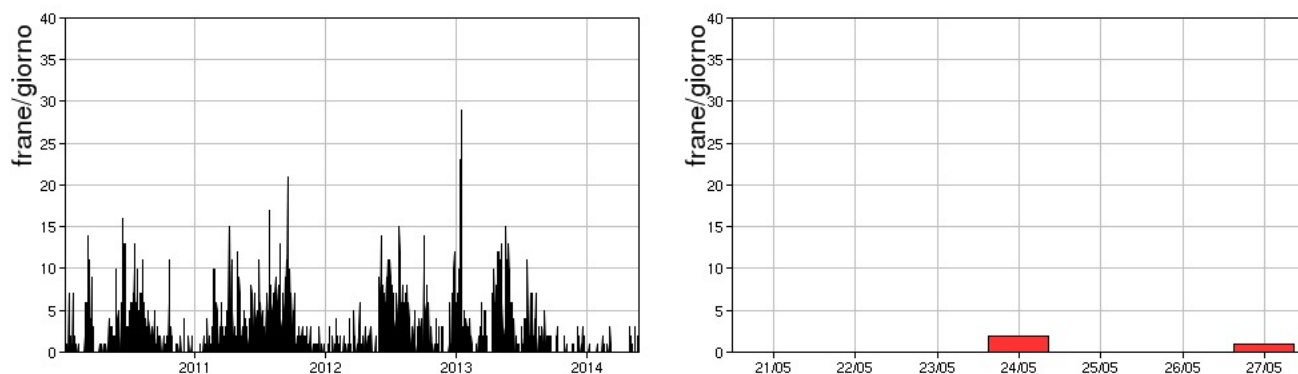
I guasti dell'HW del sistema di acquisizione e analisi negli scorsi mesi non sono stati ancora riparati.



## Sezione 4 - Sismologia

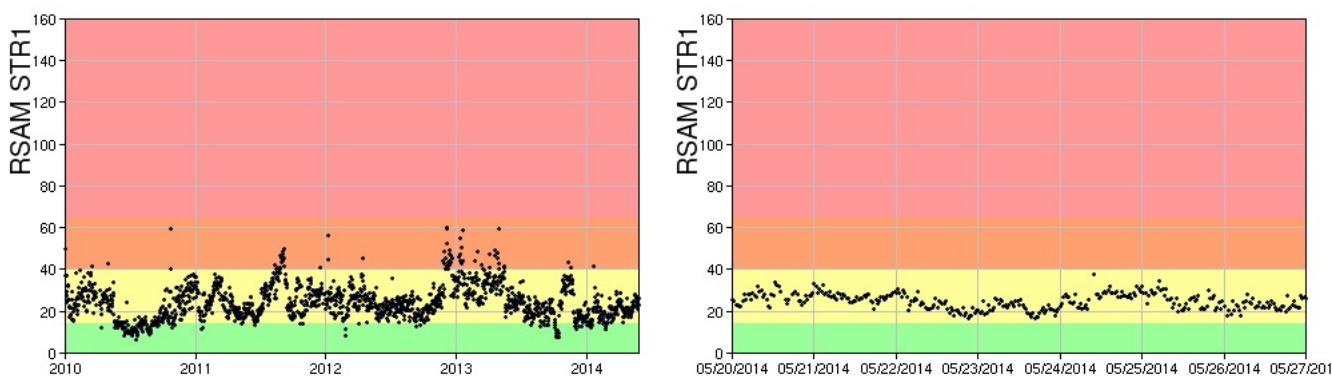
Si segnala l'occorrenza alle 00:41 del 26/05 di un evento vulcano-tettonico localizzato al di sotto dell'edificio vulcanico. I parametri ipocentrali dell'evento sono (fonte CNT):  $M=2.5$ , lat.  $38.8093^\circ$ , lon.  $15.2312^\circ$ , prof. 6.2 km.

Nell'ultima settimana sono stati registrati 3 segnali sismici associabili ad eventi franosi, di piccola entità, lungo la Sciara del Fuoco.



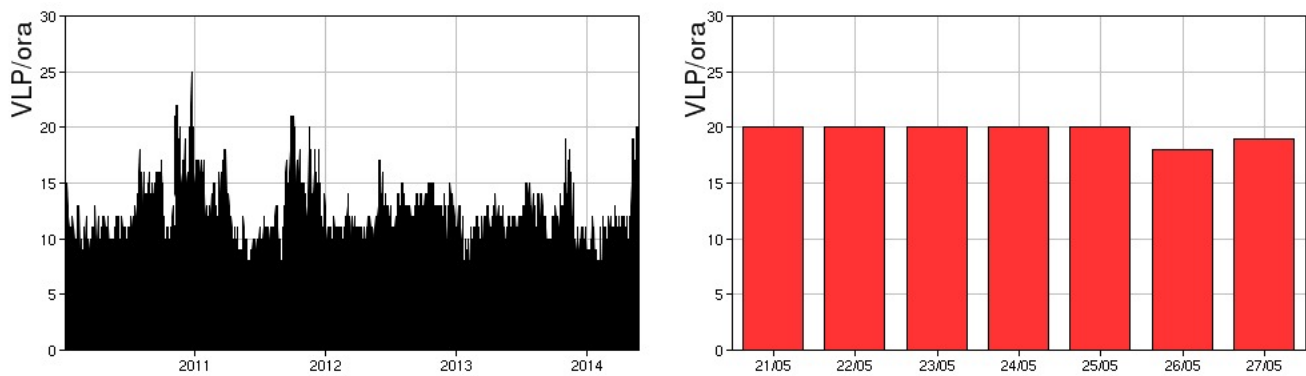
**Fig. 4.1** Frequenza giornaliera dei segnali di frana dal 1/1/2010 (sinistra) e nell' ultima settimana (destra).

Nell'ultima settimana l'ampiezza del tremore vulcanico si è mantenuta generalmente su valori medio-bassi.



**Fig. 4.2** Media giornaliera dell'ampiezza del tremore alla stazione STR1 dal 1/01/2010 (sinistra) ed ampiezza del tremore nell'ultima settimana (destra).

Nell'ultima settimana la frequenza di occorrenza dei VLP ha avuto valori compresi tra 18 e 20 eventi/ora.



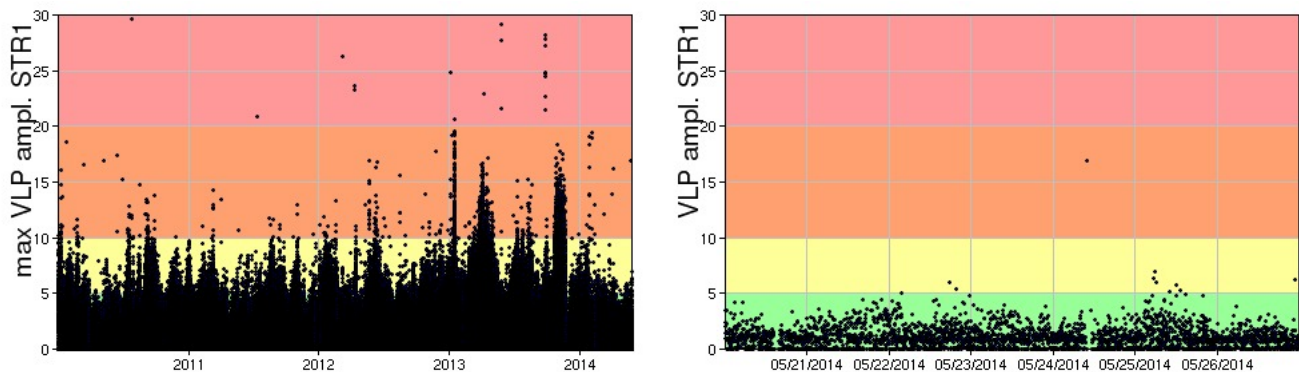
**Fig. 4.3** Frequenza di accadimento degli eventi VLP dal 1/1/2010 (sinistra) e nell'ultima settimana (destra).

Nell'ultima settimana l'ampiezza dei VLP ha avuto generalmente valori bassi.

Nell'ultima settimana l'ampiezza degli explosion-quakes ha avuto generalmente valori bassi, con qualche evento di ampiezza medio-bassa.

La localizzazione degli eventi VLP non evidenzia particolari variazioni e mostra la presenza di una sorgente stabile nell'intervallo 400-550 metri s.l.m. Gli ipocentri risultano ben clusterizzati.

La polarizzazione degli eventi VLP conferma la stabilità della sorgente.



**Fig. 4.4** Ampiezza dei VLP alla stazione STR1 dal 1/1/2010 (sinistra) e nell'ultima settimana (destra).

### Sintesi

In questo periodo è stata osservata una normale attività esplosiva di tipo stromboliano accompagnata da un'attività di spattering a tratti intensa. La frequenza delle esplosioni è oscillata tra valori medi (11 eventi/h il 22 maggio) e medio-alti (18 eventi/h il 20 maggio). L'intensità delle esplosioni è stata in prevalenza medio-bassa dalle bocche di entrambe le aree crateriche Nord e Sud.

I parametri geochimici in funzione non mostrano variazioni di rilievo.

I parametri acquisiti dai sistemi di monitoraggio delle deformazioni del suolo in funzione hanno misurato alla stazione di Timpone del Fuoco una deformazione permanente di circa 1 microradiante, associabile temporalmente all'evento sismico di  $M=2.5$  verificatosi il 26 maggio.

Persiste il lieve incremento della frequenza di occorrenza dei segnali VLP. Si segnala

l'occorrenza alle 00:41 del 26/05 di un evento vulcano-tettonico localizzato al di sotto dell'edificio vulcanico. I restanti parametri sismologici monitorati non mostrano variazioni significative.

## **DISCLAIMER**

L'INGV, in ottemperanza a quanto disposto dall'Art.2 del D.L. 381/1999, svolge funzioni di sorveglianza sismica e vulcanica del territorio nazionale, provvedendo alla organizzazione della rete sismica nazionale integrata e al coordinamento delle reti sismiche regionali e locali in regime di convenzione con il Dipartimento della Protezione Civile.

L'INGV concorre, nei limiti delle proprie competenze inerenti la valutazione della Pericolosità sismica e vulcanica nel territorio nazionale e secondo le modalità concordate dall'Accordo di programma decennale stipulato tra lo stesso INGV e il DPC in data 2 febbraio 2012 (Prot. INGV 2052 del 27/2/2012), alle attività previste nell'ambito del Sistema Nazionale di Protezione Civile.

In particolare, questo documento, redatto in conformità all'Allegato A del suddetto Accordo Quadro, ha la finalità di informare il Dipartimento della Protezione Civile circa le osservazioni e i dati acquisiti dalle Reti di monitoraggio gestite dall'INGV su fenomeni naturali di interesse per lo stesso Dipartimento.

L'INGV fornisce informazioni scientifiche utilizzando le migliori conoscenze scientifiche disponibili; tuttavia, in conseguenza della complessità dei fenomeni naturali in oggetto, nulla può essere imputato all'INGV circa l'eventuale incompletezza ed incertezza dei dati riportati e circa accadimenti futuri che differiscano da eventuali affermazioni a carattere previsionale presenti in questo documento. Tali affermazioni, infatti, sono per loro natura affette da intrinseca incertezza.

L'INGV non è responsabile dell'utilizzo, anche parziale, dei contenuti di questo documento da parte di terzi, e/o delle decisioni assunte dal Dipartimento della Protezione Civile, dagli organi di consulenza dello stesso Dipartimento, da altri Centri di Competenza, dai membri del Sistema Nazionale di Protezione Civile o da altre autorità preposte alla tutela del territorio e della popolazione, sulla base delle informazioni contenute in questo documento. L'INGV non è altresì responsabile di eventuali danni recati a terzi derivanti dalle stesse decisioni.

La proprietà dei dati contenuti in questo documento è dell'INGV. La diffusione anche parziale dei contenuti è consentita solo per fini di protezione civile ed in conformità a quanto specificatamente previsto dall'Accordo Quadro sopra citato tra INGV e Dipartimento della Protezione Civile.